

ORIGINAL ARTICLE

Evaluation of the Immunogenicity Effect of Chitosan Nanoparticles Containing Botulinum Neurotoxin E binding Domain Recombinant Protein in Mice

MohamadJavad Bagheripour¹,

Firouz Ebrahimi²,

Abbas Hajizadeh³,

Shahram Nazarian²

¹ MSc in Medical Microbiology, Biological Research Center, Faculty of Basic Sciences, Imam Hossein University, Tehran, Iran

² Assistant Professor, Biological Research Center, Faculty of Basic Sciences, Imam Hossein University, Tehran, Iran

³ MSc in Cellular & Molecular Biology, Biological Research Center, Faculty of Basic Sciences, Imam Hossein University, Tehran, Iran

(Received April 11, 2015 ; Accepted April 23, 2015)

Abstract

Background and purpose: *Clostridium botulinum* neurotoxins are the most potent toxins that cause the life-threatening botulism syndrome in humans and animals. Researches have shown that the binding domain of the botulinum neurotoxin type E has a high immunogenicity effect that could be used as an efficient recombinant vaccine. The recombinant vaccines are not potent enough to stimulate the immune responses, therefore, the use of biocompatible and safe adjuvants is inevitable. In recent years, there have been many studies on the adjuvanticity effect of nanoparticles and their role as delivery vehicles of recombinant vaccines. This study investigated the vaccine delivery effect of chitosan nanoparticles for administration of a recombinant candidate vaccine against *Clostridium botulinum* type E.

Materials and methods: The expression and purification of botulinum neurotoxin type E was done in *E. coli* BL21 (DE3). Chitosan nanoparticles were synthesized by ionic gelation method. The protein containing nanoparticles were administered to mice subcutaneously. At the same time, a control group received the candidate vaccine in combination with the Freund adjuvant. Finally, the IgG titers of immunized mice were assayed by ELISA.

Results: The recombinant protein was successfully expressed and purified and was subsequently confirmed by western blot analysis. The loading capacity of the recombinant antigen into nanocapsules was calculated as 90%. ELISA results showed an increase in the IgG titer after each administration.

Conclusion: The present study shows that the chitosan nanoparticles containing a recombinant vaccine could efficiently stimulate the humoral immune responses.

Keywords: BoNT/E recombinant protein, chitosan nanoparticles, adjuvants, antibody assay

J Mazandaran Univ Med Sci 2015; 25(124): 37-47 (Persian).

بررسی اینزایی نانوذرات کیتوسان حاوی پروتئین نوترکیب ناچیه اتصالدهنده نوروتوکسین بوتولینوم تیپ E در موش

محمدجواد باقری پور^۱

فیروز ابراهیمی^۲

عباس حاجی زاده^۳

شهرام نظریان^۲

چکیده

سابقه و هدف: نوروتوکسین‌های باکتری کلستریل یوم بوتولینوم از قوی‌ترین سموم شناخته شده می‌باشند که سبب بروز سندروم خطرناک بوتولیسم در انسان و حیوان می‌شوند. تحقیقات نشان داده است که زیر واحد اتصالی این سم دارای خاصیت اینزایی بوده و میتواند در تهیه واکسن نوترکیب مورد استفاده قرار گیرد. از آنجا که واکسن‌های نوترکیب به تنهایی قادر به برانگیختن موثر پاسخ‌های اینزایی نیستند، استفاده از ادجوانات‌های زیست‌سازگار و اینم از اهمیت زیادی برخوردار است. در سال‌های اخیر مطالعات زیادی جهت استفاده از نانوذرات به عنوان ادجوانات و نیز بستری جهت رسانش واکسن صورت گرفته است. هدف از این تحقیق، بررسی اثر نانوذرات کیتوسان بر روی رسانش موثر یک کاندید واکسن نوترکیب علیه نوروتوکسین بوتولینوم تیپ E بود.

مواد و روش‌ها: بیان و تخلیص پروتئین نوترکیب ناچیه اتصالی BoNT/E در باکتری *E. coli BL21 (DE3)* صورت پذیرفت. نانوذرات کیتوسان حاوی پروتئین مذکور با روش ژلاسیون یونی ساخته شد و به صورت زیرجلدی به موش تزریق گردید. همزمان، آنتی‌زن مورد نظر همراه با ادجوانات فروند نیز به گروه موشی جداگانه، تزریق شد و در نهایت میزان تیتر آنتی‌بادی IgG با روش الیزای غیرمستقیم مورد بررسی قرار گرفت.

یافته‌ها: پروتئین نوترکیب ناچیه اتصالی BoNT/E، بیان و تخلیص شد و سپس به وسیله وسترن بلات مورد تایید قرار گرفت. میزان بارگذاری پروتئین در نانوذرات بیش از ۹۰ درصد بود. نتایج الیزا نشان داد که میزان تولید آنتی‌بادی IgG پس از هر بار تزریق افزایش یافته است.

استنتاج: نتایج این تحقیق نشان می‌دهد نانوذرات کیتوسان توانایی تحریک موثر سیستم اینزایی هومورال را دارد.

واژه‌های کلیدی: پروتئین نوترکیب BoNT/E، نانوذرات کیتوسان، ادجوانات‌ها، سنجش آنتی‌بادی

مقدمه

عضلاتی پیش رونده می‌شوند. فلچ عضلانی در موارد حاد غالباً با مرگ همراه است. در میان هفت نوروتوکسین بوتولینوم، انواع A، B و E عمدها برای انسان بیماری‌زا هستند. نتایج بررسی‌های همه‌گیرشناسی

نوروتوکسین‌های باکتری کلستریل یوم بوتولینوم از طریق سطوح مخاطی نظیر روده، بافت ریه و یا محل زخم به گردش خون وارد شده و با ممانعت از آزاد شدن استیل کولین در پایانه‌های عصبی، سبب ایجاد فلچ

مؤلف مسئول: فیروز ابراهیمی - تهران: دانشگاه جامع امام حسین (ع)، دانشکده و پژوهشکده علوم پایه، مرکز تحقیقات زیست‌شناسی ۱. کارشناس ارشد میکروب‌شناسی پزشکی، مرکز تحقیقات زیست‌شناسی، دانشکده و پژوهشکده علوم پایه، دانشگاه جامع امام حسین (ع)، تهران، ایران ۲. استادیار، مرکز تحقیقات زیست‌شناسی، دانشکده و پژوهشکده علوم پایه، دانشگاه جامع امام حسین (ع)، تهران، ایران ۳. کارشناس ارشد زیست‌شناسی سلوی و مولکولی، مرکز تحقیقات زیست‌شناسی، دانشکده و پژوهشکده علوم پایه، دانشگاه جامع امام حسین (ع)، تهران، ایران

تاریخ دریافت: ۱۳۹۴/۱/۲۲ تاریخ ارجاع جهت اصلاحات: ۱۳۹۴/۱/۲۲ تاریخ تصویب: ۱۳۹۴/۲/۳

زیست تخریب پذیر و زیست ساز گار مختلف استفاده نمود. انتخاب پلیمر با توجه به هدف و کاربرد نهایی، به بسیاری از عوامل از جمله اندازه نانوذرات مورد نظر، خواص ماده مورد نظر (حالیت آبی، پایداری و غیره) جهت کپسوله شدن در پلیمر، ویژگی ها و عملکرد سطح، میزان دسترسی زیستی، سازگاری زیستی و مشخصات رهایش محصول نهایی بستگی دارد(۱۴، ۱۳). پلیمر انتخابی باید زیست تخریب پذیر، دارای سرعت تجزیه مشخص، دارای جذب مناسب، دارای رهایش قابل کنترل و مقرون به صرفه بوده و به آسانی به ماده فعال مورد نظر متصل شده و فعالیت بیولوژیک آن را از بین نبرد. در حال حاضر برای فرمولاسیون نانوذرات از پلیمرهای مصنوعی (سترنی) از جمله پلی لاکتیک اسید (PLA)، پلی لاکتیک کو گلیکولیک اسید (PLGA) پلی - کاپرولاكتون (PCL)، پلی متیل متاکریلات و پلی آلکیل سیانوآلکریلات و یا پلیمرهای طبیعی مانند آلبومین، ژلاتین، آلرینات، کلاژن و کیتوسان استفاده می شود. در بین پلیمرهای طبیعی، کیتوسان و مشتقات آن به دلیل ویژگی های چسبندگی به مخاط و افزایش جذب به طور گسترده ای برای تحويل پروتئین های دارویی و آنتی زنها مورد مطالعه قرار گرفته اند(۱۵). نانوذرات کیتوسان متصل به پروتئین ها را می توان با روش های شیمیایی و فیزیکی تهیه نمود. با توجه به اثرات مخرب روش های شیمیایی بر پایداری پروتئین ها، عمدتاً از این روش در اتصال پروتئین ها و یا پیتیدهای دارویی استفاده نمی شود. یکی از روش های تهیه نانوذرات کیتوسان، روش ژلاسیون یونی می باشد. در این روش، گروه های آمین موجود در کیتوسان در محیط اسیدی باردار شده و به صورت پلی کاتیون در آمده و در این حالت می توانند به گروه های دارای بار منفی مانند سولفات و فسفات اتصال یافته و تولید ژل نمایند. سدیم تری پلی فسفات یکی از این مواد پلی آنیونی است که می تواند از طریق برقراری نیروهای الکترواستاتیکی بین گروه های فسفات خود و گروه های

نشان می دهد که بیشترین موارد ابتلاء به بوتولیسم در ایران مربوط به نوع E می باشد. در حال حاضر تنها واکسن موجود در برخی کشورهای پیشرفته، یک واکسن توکسوئیدی پنج گانه بر علیه تیپ های A تا E می باشد. نکته قابل تأمل این که در حال حاضر هیچ گونه واکسن موثری در سطح کشور در دسترس نمی باشد. مشکلات موجود در تهیه واکسن نظری هزینه بالای تولید، لزوم استفاده از چندین سرو تیپ مختلف، خطرات ناشی از کار با سویه های خطرناک فعال و در نهایت ورود پروتئین های ناخواسته به بدن در زمان ایمن سازی، موجب شده تا نسل جدید واکسن ها با استفاده از روش های مهندسی ژنتیک مورد توجه قرار گیرد. در این روش ها برای تولید واکسن از نواحی خاصی از توکسین که توانایی تحریک سیستم ایمنی را داشته و فاقد اثرات سمی هستند، استفاده می شود(۱-۸).

با توجه به خاصیت ایمونوژنی زیر واحد اتصال دهنده توکسین، استفاده از پروتئین نوترکیب این زیر واحد به عنوان کاندید واکسن مورد توجه قرار دارد. استفاده از ادجوانات ها یا سیستم های مناسب تحويل آنتی زن می تواند کارایی واکسن های زیر واحدی را بهبود بخشد. استفاده از ادجوانات ها در انسان به خاطر عوارض جانبی احتمالی دارای محدودیت فراوانی است. ادجوانات فروند در سیستم های آزمایشگاهی اثر ادجواناتی خوبی داشته ولی استفاده عمومی از آن حتی در دامپزشکی مجاز نمی باشد(۹-۱۱). امروزه سامانه های رهایش آنتی زن مبتنی بر نانو و میکروذرات به عنوان ادجوانات به صورت گسترده ای مورد توجه و استفاده محققین قرار گرفته است. از جمله مزایای نانو و میکروذرات می توان به تشدید قابل توجه پاسخ ایمنی، ایجاد حالت مخزنی از آنتی زن در محل تزریق و تامین تماس طولانی مدت با سیستم ایمنی و امکان تجویز موثر واکسن ها به بافت های مخاطی و محافظت آنتی زن در مقابل آنزیم های پروتولیتیک هنگام تجویز مخاطی اشاره کرد(۱۲). برای این منظور می توان از پلیمر های طبیعی و یا مصنوعی

درجه سانتی گراد و با هوادهی در سرعت ۲۵۰ دور در دقیقه انکوبه شد. ۵۰۰ میکرولیتر از محیط کشت فوق به ۵۰ میلی لیتر محیط LB مایع تلقیح و در شیکر انکوباتور با دمای ۳۷ درجه سانتی گراد و ۲۵۰ دور در دقیقه گرمگذاری شد. پس از این که جذب نوری محیط کشت در طول موج ۶۰۰ نانومتر به ۰/۵ رسید، رسوب سلولی جمع آوری و با استفاده از کلرید کالسیم ۱۰۰ میلی مولار، سلولهای مستعد تهیه شدند. پلاسمید حاوی ژن صناعی حاوی ناحیه اتصالی BoNT/E با روش شوک حرارتی به سلولهای مستعد ترانسفورم شد. رسوب باکتری‌ها بر روی محیط LB آگار حاوی ۸۰ µg/ml کانامایسین کشت داده شد و به مدت ۱۶ ساعت در دمای ۳۷ درجه سانتی گراد گرمگذاری گردید.

پس از تائید ترانسفورماسیون پلاسمید نوترکیب به سلولهای *E.coli*، از کلونهای رشد کرده در محیط LB براث به صورت شبانه، ۵۰ میکرولیتر به ۵ میلی لیتر محیط LB براث استریل حاوی آنتی بیوتیک کانامایسین با غلظت ۴۰ µg/ml منتقل گردید. با توجه به این که بیان پروتئین نوترکیب در سویه BL21(DE3) تحت کنترل اپرون lac می‌باشد پس از این که جذب نوری محیط کشت در طول موج ۶۰۰ نانومتر به حدود ۰/۵ رسید برای القای بیان پروتئین از ایزوپروپیل-β-D-1-گالاكتوپیرانوزید (IPTG) با غلظت ۰.۵ میلی مولار استفاده شد. پس از آن سلولها در دمای ۲۵ درجه سانتی گراد به مدت ۲۴ و با سرعت ۱۵۰ دور در دقیقه گرمگذاری شدند. نتایج بیان بر روی ژل SDS-PAGE ۱۲ درصد بررسی گردید. برای تخلیص پروتئین از ستون نیکل-نیتریلو استیک اسید استفاده شد. با توجه به این که پروتئین نوترکیب حاصله به صورت محلول بود، پس از عبور دادن عصاره سلولی از ستون تمایلی، از بافر حاوی ایمیدازول ۴۰ میلی مولار برای شستشو و از بافر حاوی ایمیدازول ۲۵۰ میلی مولار به عنوان بافر خارج کننده پروتئین نوترکیب استفاده گردید.

آمینو کیتوسان، به این پلیمر متصل شود (۱۶، ۱۷). در این تحقیق ابتدا فرمولاسیون نانوذرات کیتوسان حاوی پروتئین نوترکیب ناحیه اتصالی نوروتوكسین بوتولینوم تیپ E صورت گرفت و سپس با تجویز تزریقی آن به موش، میزان تیتر آنتی‌بادی حاصله با گروه کنترل مورد مقایسه قرار گرفت.

مواد و روش‌ها

مواد، وسایل و حیوان آزمایشگاهی. در این مطالعه، از باکتری *E. coli* BL21-DE3 و جهت رشد آن از محیط‌های کشت LB مایع و آگار استفاده گردید. مواد شیمیابی، کیت و نشانگرهای مولکولی از شرکت‌های مرک، سیناژن، کیاژن و فرمتاز تهیه شد. ستون افینیتی کروماتوگرافی Ni-NTA از شرکت کیاژن خریداری گردید. ادجوانات ناقص و کامل فروند از انستیتو رازی تهیه شد. آنتی‌بادی ثانویه (کانثوگه) متصل به HRP عليه ایمونوگلوبین G موشی و آنتی‌بادی موشی عليه His-tag از شرکت Abcam خریداری گردید. آنتی‌بادی پلی کلونال عليه توکسین بوتولینوم تیپ E از مرکز تحقیقات زیست‌شناسی دانشگاه جامع امام حسین (ع) تهیه شد. کیتوسان با وزن مولکولی متوسط از شرکت Sigma-Aldrich، سدیم تری‌پلی فسفات از شرکت Scharlau و ژن صناعی حاوی ناحیه اتصالی نوروتوكسین بوتولینوم تیپ E سنتز شده توسط شرکت چینی Shinegene از مرکز تحقیقات زیست‌شناسی دانشگاه جامع امام حسین (ع) تهیه گردید. موش‌های سوری ماده از انستیتو پاستور ایران خریداری شدند. جهت تهیه تصویر نانوذرات از میکروسکوپ الکترونی موسسه پژوهشی علوم و فناوری رنگ و پوشش و به منظور بررسی اندازه و پتانسیل زتای نانوذرات از دستگاه DLS دانشگاه علوم پزشکی بقیه الله استفاده شد.

بیان و تخلیص پروتئین سویه باکتری *E. coli* BL21(DE3) به مدت ۱۵ ساعت در محیط LB مایع بدون آنتی بیوتیک در دمای ۳۷

گردید. رسوب حاصله که شامل نانوذرات می‌باشد، جهت سیر مراحل آماده‌سازی و تجویز در دمای ۴ درجه سانتی گراد نگهداری شد. میزان بارگذاری پروتئین، بر اساس فرمول زیر، از اختلاف مقدار پروتئین اولیه افزوده شده به محلول کیتوسان و مقدار نهایی باقیمانده در محلول رویی به دست آمد.

$$\% \text{ LC} = [(A-B)/A] \times 100$$

LC=Loading Capacity

A: مقدار پروتئین اولیه

B: مقدار پروتئین باقیمانده در مایع رویی بعد از سانتریفیوژ

جهت تهیه تصویر و بررسی مورفو‌لوژی نانوذرات از میکروسکوپ الکترونی SEM مدل LEO-1455VP استفاده گردید. اندازه و پتانسیل زتای نانوذرات با استفاده از دستگاه DLS مدل Malvern اندازه‌گیری شد.

ترزیق به موش

تعداد ۴۰ سر موش سوری ماده با سن ۷ تا ۸ هفتاهی انتخاب شدند. سپس ۳۰ سر از موش‌ها در ۳ گروه ۱۰ تایی تست و ۱۰ سر موش دیگر نیز در ۲ گروه کنترل تقسیم شدند. ترزیقات مطابق با جدول ۱ در چهار نوبت و با فواصل ۲ هفته‌ای صورت گرفت. روش ترزیق به صورت زیر جلدی و با حجم نهایی ۲۰۰ میکرو لیتر بود.

جدول شماره ۱: مقادیر و فواصل زمانی ترزیق به گروه‌های موشی در مراحل اینمنی‌زایی

| روزهای ترزیق | | | | | | گروه‌های موشی |
|------------------------------|----|----|---|----|----------------|--------------------|
| غلظت آنتیزن بر حسب میکرو‌گرم | | | | | | |
| ۴۲ | ۲۸ | ۱۴ | ۰ | ۱۵ | ۱۵ | Np+Ag ۱ |
| | | | | ۱۵ | ۱۵ | (ادجوانات ناقص) ۱۵ |
| | | | | ۲۰ | ۲۰ | (ادجوانات کامل) ۲۰ |
| | | | | | ۲۰ | Ag+Adj ۲ |
| | | | | | ۲۰ | (ادجوانات ناقص) ۲۰ |
| | | | | | ۲۰ | (ادجوانات کامل) ۲۰ |
| | | | | | ۲۰ | Np+Ag+Adj ۳ |
| | | | | | ۲۰ | (ادجوانات ناقص) ۲۰ |
| | | | | | Control (Ag) ۴ | |
| | | | | | Control (Np) ۵ | |
| | | | | | | |

Np+Ag: نانوذرات حاوی آنتیزن؛

Ag+Adj: آنتیزن همراه با ادجوانات فرونده؛

Np+Ag+Adj: نانوذرات حاوی آنتیزن همراه با ادجوانات فرونده؛

Control (Ag): آنتیزن بدون ادجوانات؛

Control (Np): نانوذرات بدون آنتیزن؛

تأثیب پروتئین نوترکیب به روش لکه گذاری وسترن برای تایید پروتئین نوترکیب از آنتی‌بادی پلی کلونال علیه نوروتوکسین بوتولینوم تیپ E و از روش لکه گذاری وسترن استفاده گردید. عصاره سلولی نمونه القاء شده و القاء نشده و پروتئین BSA بر روی ژل SDS-PAGE ۱۲ درصد الکتروفورز شدند. لکه گذاری بر روی کاغذ نیتروسلولز با استفاده از سیستم BioRad و بافر مخصوص انتقال حاوی گلایسین ۱۹۲ میلی مولار، تریس ۲۵ میلی مولار، SDS ۱ درصد و متابول ۲۰ درصد با pH=۸/۳ انجام شد. کاغذ نیتروسلولز به صورت شبانه در بافر PBST حاوی ۵ درصد شیر خشک بلاک شد. پس از فرایند شستشوی کاغذ به مدت ۱ ساعت و در دمای ۳۷ درجه سانتی گراد، کاغذ نیتروسلولز در معرض آنتی‌بادی پلی کلونال با رقت ۱/۵۰۰۰ قرار گرفت. در مرحله بعد شستشو تکرار شد و این بار از آنتی‌بادی پلی کلونال اسپی کانژوگه به آنزیم HRP در غلظت ۱/۱۰۰۰ در دمای ۳۷ درجه سانتی گراد و به مدت ۱ ساعت استفاده گردید. واکنش رنگ پذیری پروتئین با افزودن دی آمینوبنزیدین در بافر تریس ۵۰ میلی مولار و ۱۰ میکرولیتر H₂O₂ انجام شد. واکنش با افزودن آب مقطر متوقف گردید.

تهیه نانوذرات کیتوسان

نانوذرات کیتوسان با روش ژلاسیون یونی تهیه شد (۱۷-۱۹). محلولی با غلظت ۲ mg/ml از کیتوسان در اسید استیک ۲٪ وزنی و نیز محلولی با غلظت ۱ mg/ml از سدیم تری پلی فسفات تهیه گردید. ۵ میلی لیتر از محلول سدیم تری پلی فسفات به صورت قطره قطره به ۷/۵ میلی لیتر محلول کیتوسان حاوی پروتئین در حالی که بر روی همزن معناطیسی با سرعت ثابت قرار گرفته بود، اضافه شد. پس از پایان واکنش، محلول کلوئیدی در بستر گلیسیرون به مدت ۴۰ دقیقه با سرعت rpm ۱۳۵۰۰ در دمای ۴ درجه سانتی گراد سانتریفیوژ و سپس مایع رویی برای تعیین میزان بارگذاری پروتئین جدا

تائید پروتئین نوترکیب با روش وسترن بلاست با توجه به این که پروتئین نوترکیب اتصالی بخشی از توکسین ۱۵۰ کیلو دالتونی کلستریدیوم بوتولینوم می‌باشد، لذا جهت تأیید پروتئین نوترکیب تکنیک وسترن بلاست با استفاده از آنتی‌بادی پلی کلونال ضد توکسین تیپ E انجام شد. نتیجه وسترن بلاست نشان داد که این آنتی‌بادی توانسته است پروتئین نوترکیب حاصل را به خوبی شناسایی نماید (تصویر شماره ۲).



تصویر شماره ۲: تأیید پروتئین نوترکیب BoNT/E با روش وسترن بلاست.
۱. نشانگر مولکولی پروتئین (Prestained Protein Ladder, 10-250kDa).
۲. پروتئین نوترکیب BoNT/E (Sinaclon).
۳. پروتئین BSA (کنترل منفی).

تهیه نانوذرات کیتوسان و بررسی میزان بارگذاری پروتئین تصاویر به دست آمده اندازه نانوذرات را کمتر از ۳۰۰ نانومتر نشان می‌داد (تصویر شماره ۳). نتایج دستگاه DLS نیز بیانگر تولید نانوذرات کیتوسان با میانگین اندازه ۲۸۵ نانومتر بود. پتانسیل زتای نانوذرات کیتوسان فاقد آنتی-زن +۲۲/۹ میلی ولت و نانوذرات کیتوسان حاوی آنتی-زن نوترکیب +۹/۴۳ میلی ولت بود (نمودار شماره ۱ و ۲). پس از بهینه‌سازی شرایط تهیه نانوذرات میزان بارگذاری پروتئین در نانوذرات حدود ۹۱ درصد بود.

IgG میانگین تیتر آنتی‌بادی

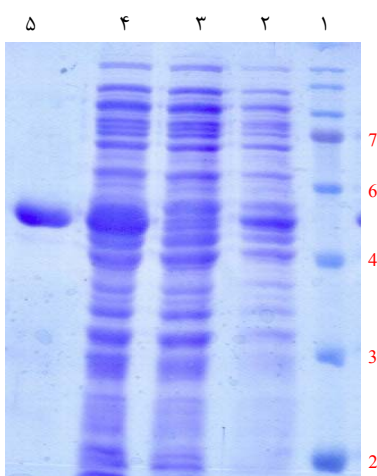
میزان تیتر آنتی‌بادی IgG نمونه‌های سرم جدا شده از مراحل مختلف خونگیری در تمام گروه‌ها با روش الایزای غیرمستقیم اندازه گیری شد. نتایج در نمودارهای ۳ تا ۶ نشان داده شده است.

تعیین تیتر آنتی‌بادی با روش الایزای غیرمستقیم در فواصل ۸ تا ۱۰ روز پس از هر تزریق، خون‌گیری صورت گرفت و پس از جداسازی سرم، در فریزر -۲۰ درجه سانتی گراد نگهداری شد. میزان تیتر آنتی‌بادی IgG در نمونه‌های سرم با روش الایزای غیرمستقیم اندازه گیری شد.

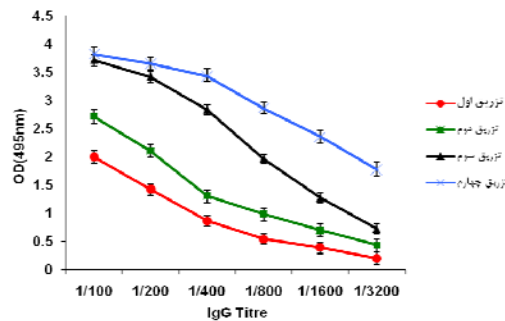
یافته‌ها

بیان و تخلیص پروتئین

ابتدا انتقال سازه pET28a/BoNT/E binding domain در سلول‌های مستعد اشربیا کلی سویه BL21(DE3) انجام گرفت. پس از القاء ژن مورد نظر و جمع آوری سلول‌های بیانی و شکستن سلول‌ها، کل محتوای پروتئینی روی ژل ۱۲ درصد SDS-PAGE مورد بررسی قرار گرفت. در نمونه‌های القاء شده، پروتئینی با بیان بالا مشاهده گردید. چنین پروتئینی در نمونه‌های القاء شده وجود نداشت. نتایج حاصل از تخلیص پروتئین با استفاده از ستون نیکل-نیتریلو استیک اسید بیانگر وجود پروتئین نوترکیب با وزن ۵۲ کیلو دالتون در خروجی شستشوی ایمیدازول ۲۵۰ میلی مولار با درجه خلوص بالا بود (تصویر شماره ۱).

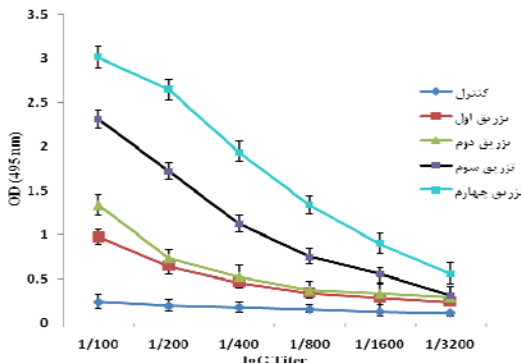


تصویر شماره ۱: الگوی الکتروفورز پروتئین بیان شده روی ژل ۱۲ SDS-PAGE.
۱. نشانگر مولکولی پروتئین؛ ۲. خروجی شستشوی ستون با ایمیدازول ۴۰ میلی مولار؛
۳. عصاره باکتری القاء نشده به عنوان کنترل منفی؛ ۴. عصاره باکتری القاء شده با IPTG؛
۵. خروجی شستشوی ستون با ایمیدازول ۲۵۰ میلی مولار.



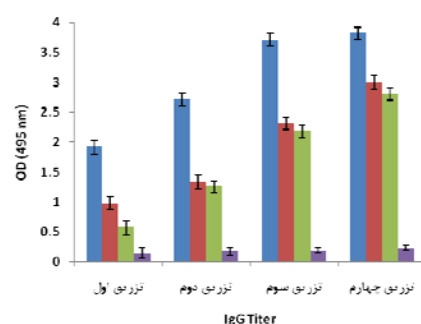
نمودار شماره ۴: میانگین تیتر آنتی‌بادی IgG پس از تزریق آنتی‌زن همراه با ادجوانات فروند

(نمونه‌ها شامل آنتی‌زن همراه با ادجوانات فروند است. تزریق به صورت زیرجلدی و در فواصل زمانی ۱۴ روز انجام شد. خون گیری ۸ روز پس از هر تزریق صورت گرفت. میزان OD رفت ۱/۱۰۰ در تزریق اول ۱/۹ و در تزریق چهارم ۳/۸ بود).



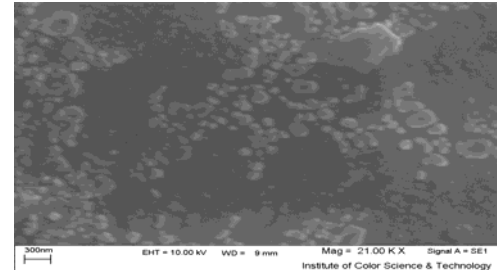
نمودار شماره ۵: میانگین تیتر آنتی‌بادی IgG پس از تزریق نانوذرات حاوی آنتی‌زن همراه با ادجوانات فروند

(نمونه‌ها شامل نانوذرات حاوی آنتی‌زن می‌باشد که همراه با ادجوانات فروند به صورت زیرجلدی و در فواصل زمانی ۱۴ روز تزریق شده است. خون گیری ۸ روز پس از هر تزریق صورت گرفت. میزان OD رفت ۱/۱۰۰ در تزریق اول ۰/۹۷ و در تزریق چهارم ۳/۰ بود).

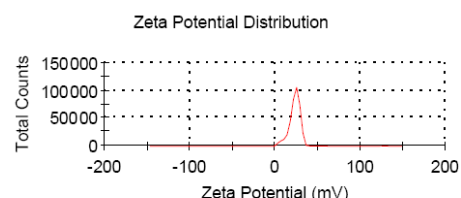


نمودار شماره ۶: مقایسه میانگین تیتر آنتی‌بادی IgG (Rift ۱/۱۰۰) در گروههای مختلف

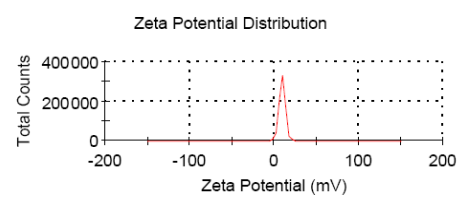
(نمونه‌ها شامل آنتی‌زن همراه با ادجوانات فروند (آبی)، نانوذرات حاوی آنتی‌زن همراه با ادجوانات فروند (قرمز)، نانوذرات حاوی آنتی‌زن (سبز) و نانوذرات بدون آنتی‌زن (بنفش) می‌باشند. نتایج آزمون آماری t-test نشان داد که تیتر آنتی‌بادی در گروه هایی که نانوذرات حاوی آنتی‌زن با/بدون ادجوانات فروند تزریق شده است، تفاوت معنی داری نداشته است ($P<0.05$).)



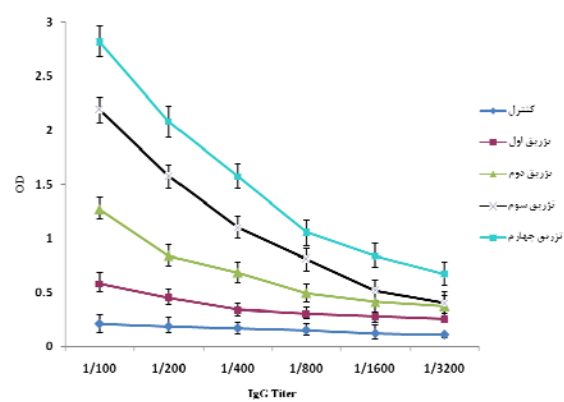
تصویر شماره ۳: نانوذرات کیتوسان حاوی بروتین ناحیه اتصالی BoNT/E (نانوذرات بر روی فوبیل آلمینومی قرار گرفته و پس از خشک شدن و پوشش با لایه طلا، با استفاده از میکروسکوپ الکترونی روبشی مدل LEO-1455VP تصویر برداری شد)



نمودار شماره ۱: توزیع پتانسیل زتا نانوذرات فاقد آنتی‌زن (مقدار پتانسیل زتا $+22/9 + ۲۲/۹$ میلی ولت می‌باشد)



نمودار شماره ۲: توزیع پتانسیل زتا نانوذرات حاوی آنتی‌زن (مقدار پتانسیل زتا $+9/۴۳ + ۹/۴۳$ میلی ولت می‌باشد)



نمودار شماره ۳: میانگین تیتر آنتی‌بادی IgG پس از تزریق نانوذرات حاوی آنتی‌زن

(نمونه‌های تست شامل نانوذرات حاوی آنتی‌زن و نمونه کنترل شامل نانوذرات فاقد آنتی‌زن است. فواصل زمانی تزریق در هر دو گروه تست و کنترل، ۱۴ روز و زمان خون گیری، ۸ روز پس از هر تزریق بود. میزان OD رفت ۱/۱۰۰ در تزریق اول ۰/۵۸ و در تزریق چهارم ۲/۹ بود).

بحث

شده توسط نانوذرات مشابه با واکسن ضعیف شده تجاری RV6 بود. در مطالعه دیگری، او بالومین با نانوذرات کیتوسان پوشیده شده با آژینات، کپسوله شده و از مسیر دهانی به پلاک های پیر تحویل شده است. جین و همکاران (۲۰۰۶) با با فرمولاسیون وزیکولی نانوذرات و تجویز خوراکی آن ها، غلظت بالای sIgA و پاسخ ایمنی بهتری را مشاهده کردند. همچنین در مطالعه انجام شده با استفاده از میکرو و نانوذرات کپسوله شده با تاکیزوئیت های توکسوپلاسمما گوندی، افزایش قابل توجهی در ایمنی سیستمیک و مخاطی مشاهده شد (۲۸). علی رغم مطالعات گسترده، تاکنون در خصوص استفاده از کیتوسان به عنوان ادجوان برای پروتئین نوترکیب ناحیه اتصالی BoNT/E مطالعه ای صورت نگرفته است. تنها در یک مطالعه، ریبعی رو درسی و همکاران (۲۰۱۳) در خصوص اثر ادجوانی نانوذرات طلا بر ایمنی زایی BoNT/E نشان دادند که این نانوذرات می توانند همانند ادجوان فرونده باعث تحریک سیستم ایمنی و در نتیجه بروز پاسخ شوند (۲۹). در سایر مطالعاتی که بر روی پروتئین نوترکیب ناحیه اتصالی BoNT/E صورت گرفته است، صرفا از ادجوان فرونده استفاده شده است (۳،۴،۸).

در تحقیق حاضر از روش ژلاسیون یونی برای تهیه نانوذرات استفاده شد. با تغییر پارامترهای دخیل در ساخت نانوذرات از جمله غلظت محلول کیتوسان، غلظت محلول TPP، pH محلول کیتوسان، نسبت کیتوسان به TPP، میزان بارگذاری پروتئین در نانوذرات بهینه گردید به طوری که در نهایت میزان بارگذاری به حدود ۹۱ درصد رسید. ضمن آن که برخی از پارامترهای فوق بر روی اندازه نانوذرات و میزان پتانسیل زتا نیز تاثیر به سزاوی دارند. پتانسیل زتای ذرات عامل مهمی برای پایداری آن ها در محلول بوده و ذرات کیتوسان با پتانسیل زتای مثبت و بالاتر پایداری بیشتر در محلول خواهند داشت. همچنین چنانچه پتانسیل زتای ذرات کیتوسان و مشتقاش مثبت تر باشد، چسبندگی این

بوتولیسم ییماری خطرناکی است که در نتیجه تماس با نوروتوكسین های بوتولینوم ایجاد می شود. امروزه تحقیقات گسترده ای برای یافتن واکسن مناسب علیه این نوروتوكسین ها صورت می گیرد. پژوهشگران تحقیق بر روی واکسن های نوترکیب را به دلیل مشکلات مربوط به واکسن های توکسینی در اولویت اول تحقیقات خود قرار داده اند (۴،۵،۲۰). برای تجویز واکسن ها باید ادجوانات های قوی و بی خطر و یا سیستم های تحویل مناسبی یافت که دارای قدرت تحریک کنندگی بالای سیستم ایمنی بوده و شرایطی مانند زیست تحریب پذیری، زیست سازگاری، عدم ایجاد سمیت سلوالی، امکان رهایش آهسته و پیوسته واکسن را نیز داشته باشند. در سال های اخیر مطالعات زیادی بر روی استفاده از نانوذرات به عنوان حاملین واکسن و دارو صورت گرفته است. در واقع رهایش مناسب آنتی زن از نانوذرات به سیستم ایمنی اجازه پردازش بیشتر و بهتر جهت بروز پاسخ مناسب را می دهد. در این میان، کیتوسان به عنوان یک پلیمر طبیعی بیش از سایرین توجه محققین را به خود جلب کرده است. تهیه نانوذرات کیتوسان با روش های مختلف امکان پذیر است ولی یکی از بهترین و ساده ترین آنها روش ژلاسیون یونی می باشد که بسیار مورد استفاده قرار می گیرد. در این روش با تغییر پارامترهای دخیل در فرآیند ژلاسیون می توان بهترین شرایط برای ساخت نانوذرات با اندازه مناسب و حداکثر میزان بارگذاری پروتئین را به دست آورد (۲۱).

تاکنون مطالعات زیادی در خصوص استفاده از کیتوسان به عنوان حامل دارو یا واکسن های مختلف علیه ییماری های گوناگون به صورت تزریقی، خوراکی و داخل بینی صورت گرفته است (۲۷-۲۲). به عنوان مثال، استوان و همکاران (۲۰۰۶) عصاره سالمونلا انتریکا سرو واریته Abortusovis را در نانوذرات پلیمری کپسوله نمودند و پس از تزریق زیر جلدی در موش های c/Balb/c مشاهده کردند که میزان ایمنی و تیتر آنتی بادی ایجاد

که بیشترین میزان OD مربوط به رقت ۱/۱۰۰ در تزریق چهارم و به میزان ۲/۹ بود. البته افزایش تیتر آنتی‌بادی در این گروه به اندازه گروهی که آنتی‌ژن همراه با ادجوانت را دریافت کرده بودند، نبود. در این گروه، میزان OD رقت ۱/۱۰۰ در تزریق چهارم عدد ۳/۸ را نشان می‌داد. همچنین نتایج حاصل از بررسی تیتر آنتی‌بادی گروهی که نانوذرات حاوی آنتی‌ژن همراه با ادجوانت فروند را دریافت کرده بودند نشان از افزایش میزان تولید آنتی‌بادی در هر مرحله بود به طوری که بیشترین میزان OD در رقت ۱/۱۰۰ در تزریق چهارم و به میزان ۳/۰ بود.

با توجه به این که نانوذرات به تنها یی توانسته بودند با رهایش تدریجی نانوذرات و عرضه آن به سیستم ایمنی نقش ادجواناتی ایفا نموده و منجر به تولید آنتی‌بادی به میزان قابل قبولی شوند، انتظار می‌رفت استفاده همزمان از نانوذرات و ادجوانت فروند این اثر را تقویت نموده و در نتیجه با افزایش بسیار زیاد آنتی‌بادی مواجه باشیم. اما برخلاف تصور، همان‌گونه که در نمودار شماره ۶ مشاهده می‌شود، در گروهی که آنتی‌ژن به صورت کپسوله در نانوذرات کیتوسان و همراه با ادجوانت فروند دریافت کرده بودند، تیتر آنتی‌بادی نسبت به گروهی که آنتی‌ژن همراه با ادجوانت تجویز شده بود، نه تنها افزایش نیافه بلکه به میزان زیادی با کاهش همراه بوده است که علت آن ممکن است مربوط به اثرات ممانعتی احتمالی نانوذرات بر روی ادجوانات و یا بالعکس باشد. البته میزان آنتی‌بادی در این گروه نسبت به گروهی که آنتی‌ژن را به صورت نانو‌کپسوله دریافت کرده بودند، به میزان ناچیزی افزایش نشان داد. نتایج این تحقیق نشان داد که نانوذرات کیتوسان توانایی رسانش آنتی‌ژن و تحریک سیستم ایمنی را داشته و برای ایجاد پاسخ ایمنی مناسب علیه آنتی‌ژن ناحیه اتصالی BoNT/E می‌توان از نانوذرات کیتوسان حاوی این آنتی‌ژن استفاده نمود.

پلیمرها به پروتئین‌ها و نیز سطوح مخاطی بیشتر خواهد بود و قابلیت بهتری برای تحويل پروتئین و آنتی‌ژن در واکسیناسیون مخاطی خواهند داشت. به عنوان مثال، لی و همکارانش (۲۰۰۸) نشان دادند که با افزایش اندازه نانوذرات به علت افزایش غلظت پروتئین مقدار پتانسیل زتا کاهش می‌یابد (۳۰). هم‌چنین محمدپور و همکارانش (۲۰۱۲) در مطالعه خود نشان دادند که پتانسیل زتا ای نانوذرات کیتوسان پس از بارگذاری با پروتئین کاهش می‌یابد (۲۲). حسین‌زاده و همکارانش (۲۰۱۲) نشان دادند با افزایش غلظت محلول کیتوسان، اندازه نانوذرات و پتانسیل زتا ای آن افزایش می‌یابد. همچنین با افزایش غلظت TPP، اندازه نانوذرات افزایش ولی پتانسیل زتا ای آن کاهش می‌یابد (۳۱). گان و همکارانش (۲۰۰۷) نیز نشان دادند با کاهش غلظت کیتوسان، اندازه نانوذرات نیز کاهش می‌یابد. همچنین اندازه نانوذرات کیتوسان هنگامی که با پروتئین BSA بارگذاری می‌شود، به مقدار قابل ملاحظه‌ای (نسبت به زمانی که بدون پروتئین ساخته می‌شود)، افزایش و پتانسیل زتا به میزان ناچیزی کاهش می‌یابد (۳۲). در تحقیق حاضر با تغییر در پارامترهای فوق نهایتاً نانوذرات کیتوسان با میانگین اندازه ۱۴۰ نانومتر و پتانسیل زتا $22/9 \pm 0.5$ میلی ولت تهیه شد که پس از بارگذاری با پروتئین نوترکیب BoNT/E، میانگین اندازه نانوذرات به 285 ± 0.5 نانومتر و پتانسیل زتا آنها به $9/43 \pm 0.5$ میلی ولت رسید.

در پژوهش حاضر، نتایج الیزا (نمودارهای ۳ تا ۵) نشان داد که در هر سه گروه مورد آزمون میزان تیتر آنتی‌بادی IgG در هر مرحله افزایش یافت. افزایش تیتر آنتی‌بادی در گروهی که نانوذرات حاوی آنتی‌ژن را دریافت کرده بودند حاکی از آن بود که نانوذرات توانسته‌اند به عنوان ادجوانات عمل کرده و با رهایش مناسب و طولانی مدت آنتی‌ژن و قرار دادن آن در مععرض سیستم ایمنی منجر به تولید IgG شوند به طوری

References

1. Przedpelski A, Tepp WH, Kroken AR, Fu Z, Kim JJ, Johnson EA, et al. Enhancing the protective immune response against botulism. *Infect Immun.* 2013; 81(7): 2638-2644.
2. Smith LA. Botulism and vaccines for its prevention. *Vaccine.* 2009; 27: D33-339.
3. Karalewitz APA, Barbieri JT. Vaccines against botulism. *Current Opinion in Microbiology* 2012; 15: 317-324.
4. Valipour E, Moosavi ML, Amani J, Nazarian S. High level expression, purification and immunogenicity analysis of a protective recombinant protein against botulinum neurotoxin type E. *World J Microbiol Biotechnol* 2014; 30(6): 1861-1867.
5. Mansour AA, Mousavi SL, Rasooli I, Nazarian S, Amani J, Farhadi N. Cloning, high level expression and immunogenicity of 1163-1256 residues of C-terminal heavy chain of *C. botulinum* neurotoxin type E. *Biologicals* 2010; 38(2): 260-264.
6. Baldwin MR, Tepp WH, Przedpelski A, Pier C, Bradshaw M, Johnson E, Barbieri J. Subunit vaccine against the seven serotypes of botulism. *Infect Immun* 2008; 76(3): 1314-1318.
7. Mousavi Gargari SL, Rasooli I, Valipour E, Basiri M, Nazarian S, Amani J, Farhadi, N. Immunogenic and protective potentials of recombinant receptor binding domain and a C-terminal fragment of *Clostridium botulinum* neurotoxin type E. *Iranian Journal of Biotechnology* 2011; 9(3): 181-187.
8. Baldwin MR, Tepp WH, Pier CL, Bradshaw M, Ho M, Wilson BA, et al. Characterization of the antibody response to the receptor binding domain of botulinum neurotoxin serotypes A and E. *Infect Immun* 2005; 73(10): 6998-7005.
9. Mbow ML, De Gregorio E, Valiante NM, Rappuoli R. New adjuvants for human vaccines. *Curr Opin Immunol* 2010; 22(3): 411-416.
10. Coffman RL, Sher A, Seder RA. Vaccine adjuvants: putting innate immunity to work. *Immunity* 2010; 33(4): 492-503.
11. Alving CR, Peachman KK, Rao M, Reed SG. Adjuvants for human vaccines. *Curr Opin Immunol* 2012; 24(3): 310-315.
12. Mi-Gyeong Kim MG, Joo Yeon Park JY, Yuna Shon Y, Young Bong Kim YB, Yu-Kyoung Oh YK. Nanodelivery Systems for Mucosal Vaccines. *Nanodelivery Systems for Mucosal Vaccines. Recent Patents on Nanomedicine* 2013; 3(2): 119-127.
13. Akagi T, Baba M, Akashi M. Biodegradable Nanoparticles as Vaccine Adjuvants and Delivery Systems: Regulation of Immune Responses by Nanoparticle-Based Vaccine. *Adv Polym Sci* 2012; 247: 31-64.
14. Vilar G, Tulla-Puche J, Albericio F. Polymers and Drug Delivery Systems. *Current Drug Delivery* 2012; 9 (4): 367-394.
15. Nagpal K, Singh SK, Mishra DN. Chitosan nanoparticles: a promising system in novel drug delivery. *Chem Pharm Bull (Tokyo)* 2010; 58(11): 1423-1430.
16. Li-Ming Zhao, Lu-E Shi, Zhi-Liang Zhang, Jian-Min Chen, Dong-Dong Shi, Jie Yang, et al. Preparation and application of chitosan nanoparticles and nanofibers. *Brazilian Journal of Chemical Engineering* 2011; 28(3): 353-362.
17. Vaezifar S, Razavi Sh, Golozar M A, Karbasi S, Morshed M, Kamali M. Effects of Some Parameters on Particle Size Distribution of

- Chitosan Nanoparticles Prepared by Ionic Gelation Method. *J Clust Sci* 2013; 24(3): 891-903.
18. Nesalin JAJ, Smith AA. Preparation and evaluation of chitosan nanoparticles containing zidovudine. *Asian Journal of Pharmaceutical Sciences* 2012; 7(1): 80-84.
19. Dustgani A, Vasheghani Farahani E, Imani M. Determination of the Optimum Conditions for Production of Chitosan Nanoparticles. *Iranian Journal of Polymer Science and Technology* 2008; 20(5): 457-464 (Persian).
20. Janice M, Rusnak A, Smith L. Botulinum Neurotoxin Vaccines Past History and Recent Developments. *Vaccines* 2009; 5(12): 794-805.
21. Hasanzadeh Kafshgari M, Khorram M, Khodadoost M, Khavari S. Reinforcement of Chitosan Nanoparticles Obtained by an Ionic Cross-linking Process. *Iranian Polymer Journal* 2011; 20(5): 445-456.
22. Mohammadpour Dounighi N, Eskandari R, Avadi MR, Zolfagharian H, Mir Mohammad Sadeghi A, et al. Preparation and in vitro characterization of chitosan nanoparticles containing Mesobuthus eupeus scorpion venom as an antigen delivery system. *Journal of Venomous Animals and Toxins including Tropical Diseases* 2012; 18(1): 44-52.
23. Amidi M, Mastrobattista E, Jiskoot W, Hennink WE. Chitosan-based delivery systems for protein therapeutics and antigens. *Adv Drug Deliv Rev* 2010; 62(1): 59-82.
24. Wang JJ, Zeng ZW, Xiao RZ, Xie T, Zhou GL, Zhan XR, et al. Recent advances of chitosan nanoparticles as drug carriers. *Int J Nanomedicine* 2011; 6: 765-774.
25. Bowman K, Leong KW. Chitosan nanoparticles for oral drug and gene delivery. *Int J Nanomedicine* 2006; 1(2): 117-128.
26. Rajan M, Raj V. Potential Drug Delivery Applications of Chitosan Based Nanomaterials. *International Review of Chemical Engineering* 2013; 5(2): 145-155.
27. Chen F, Zhang ZR, Huang Y. Evaluation and modification of N-trimethyl chitosan chloride nanoparticles as protein carriers. *Int J Pharm* 2007; 336(1): 166-173.
28. Shahiwala A, Vyas TK, Amiji MM. Nanocarriers for systemic and mucosal vaccine delivery. *Recent Pat Drug Deliv Formul* 2007; 1(1): 1-9.
29. Rabiee Rudisari A, Ebrahimi F, Arefpour Torabi M A. Study of Adjuvant Capability of the Gold Nanoparticles on the Immunity of Botulinum Neurotoxin Serotype E in Mouse. *The Scientific Journal of Advanced Defence Science & Technology* 2013; 4(2): 87-92 (Persian).
30. Li X, Kong X, Shi S, Zheng X, Guo G, Wei Y, et al. Preparation of alginate coated chitosan microparticles for vaccine delivery. *BMC Biotechnol* 2008; 8: 89.
31. Hosseinzadeh H, Atyabi F, Dinarvand R, Ostad SN. Chitosan-Pluronic nanoparticles as oral delivery of anticancer gemcitabine: preparation and in vitro study. *Int J Nanomedicine* 2012; 7: 1851-1863.
32. Gan Q, Wang T. Chitosan nanoparticle as protein delivery carrier--systematic examination of fabrication conditions for efficient loading and release. *Colloids Surf B Biointerfaces*. 2007; 59(1): 24-34.